

сти, учитывающий риск большой потери ресурса, является актуальным для многих приложений, например, повреждения оборудования.

Выводы

Проведенный анализ позволяет производить формирование квазиоптимальной стратегии управления подключениями объекта в нестационарных системах распределения ресурсов с множеством объектов. При этом в полной мере могут учитываться различные требования, например, желательное соотношение риска потерь ресурсов и общего количества полученных ресурсов.

Рассмотренная методика для исходных алгоритмов с дискретным по уровню выходом может быть распространена для случая алгоритмов с непрерывным выходом.

БИБЛИОГРАФИЧЕСКИЙ СПИСОК

1. Саркисов В.Г. *Задача формирования стратегии принятия решений на фондовом рынке*. Вестник СамГТУ, Серия "Технические науки" – №8, 2000, с. 42-49.
2. Тяпушкин А.И. *Параллельные вычисления в задачах оптимального управления*. Сиб. журн. выч. матем. – РАН. Сиб. отд.-ние. – Новосибирск – Т.3, No.2, 2000, с.181-190.

УДК 531.01 : 629.78 : 681.51

Самов Е.И., Бутырин С.А.

ЯВНЫЙ ЛОГИКО-ДИНАМИЧЕСКИЙ ЗАКОН НАСТРОЙКИ МИНИМАЛЬНО ИЗЫТОЧНОЙ СИСТЕМЫ ГИРОДИНОВ ДЛЯ МАНЕВРИРУЮЩЕГО КОСМИЧЕСКОГО АППАРАТА

Впервые представляется *аналитическое* решение задачи синтеза явного логико-динамического закона настройки – распределения кинетического момента (КМ) силового гироскопического комплекса (СГК) минимально избыточной схемы на базе двух пар гиродинов

(ГД) с коллинеарными осями их подвеса (рис. 1), который обеспечивает *автоматическое* исключение сингулярных состояний СГК и гарантирует возможность создания вектора управляющего гироскопического момента в *произвольном* направлении для *всех внутренних* точек области вариации его суммарного КМ.

Сингулярные состояния. В прецессионной теории силовых гироскопов представление нормированного вектора КМ СГК $h^c \equiv \{x_c^g, y_c^g, z_c^g\}$ в каноническом базисе (КБ) $E_c^g(x_c^g, y_c^g, z_c^g)$ и $h = \{x, y, z\}$ в гироскопическом базисе (ГБ) $E^g(x, y, z)$ связаны соотношением $h^c = A_\gamma h$, где матрица

$$A_\gamma = \begin{bmatrix} 1 & 0 & 0 \\ 0 & S_{\gamma 1} & S_{\gamma 2} \\ 0 & -C_{\gamma 1} & C_{\gamma 2} \end{bmatrix},$$

а вектор управляющего момента СГК в КБ

$$M^Y(\beta) = A_\gamma A_{\gamma 1}(\beta) \cdot \beta; \quad (1)$$

где

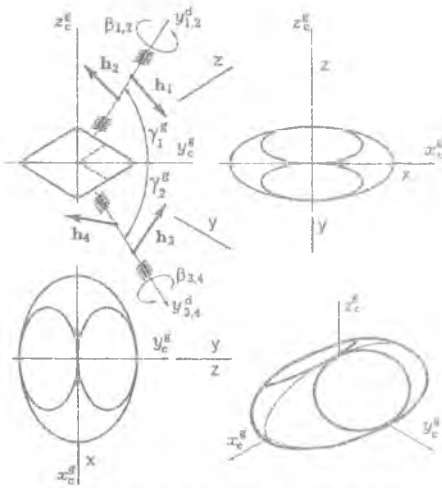


Рис. 1. Схема СГК и оболочка ее КМ

$$x_p = C_{\beta_p}, p = 1, 4; y_p = S_{\beta_p}, p = 1, 2; z_p = S_{\beta_p}, p = 3, 4; S_\alpha \equiv \sin \alpha; C_\alpha \equiv \cos \alpha; \beta = \{\beta_p\};$$

$$x = x_{12} + x_{34}; \quad x_{12} = x_1 + x_2; \quad x_{34} = x_3 + x_4; \quad y = y_1 + y_2 \quad z = -(z_1 + z_2).$$

При обозначениях $\gamma = (\gamma_1^g + \gamma_2^g)/2$; $\alpha_1 = (\beta_1 + \beta_2)/2, \alpha_2 = (\beta_3 + \beta_4)/2, \alpha_i \in [-\pi, \pi]$, $\delta_1 = (\beta_1 - \beta_2)/2, \delta_2 = (\beta_3 - \beta_4)/2, \delta_i \in [-\pi/2, \pi/2]$ и $A_{\gamma h}(\beta) \equiv A_\gamma A_h(\beta)$ определитель матрицы Грамма $\Delta_G(\beta) = \det[A_{\gamma h} \cdot A_{\gamma h}^t]$, сигнализирующий о сингулярности преобразования (1), выражается в симметричном виде

$$\Delta_G = S_{2\gamma}^2 \cdot G; \quad G \equiv 2 [(C_{\alpha_1}^2 C_{\delta_1}^2 + S_{\alpha_1}^2 S_{\delta_1}^2) \cdot S_{2\delta_1}^2 + (C_{\alpha_2}^2 C_{\delta_2}^2 + S_{\alpha_2}^2 S_{\delta_2}^2) \cdot S_{2\delta_2}^2], \quad (2)$$

поэтому все естественные сингулярные состояния СГК, в которых этот определитель принимает значение $\Delta_G = 0$, описываются единым соотношением

$$(C_{\alpha_i} \cdot C_{\delta_i} \cdot S_{\delta_i} \cdot C_{\delta_j} = 0) \& (S_{\alpha_i} \cdot S_{\delta_i} \cdot S_{\delta_j} \cdot C_{\delta_j} = 0), \quad i, j \in \{1, 2\}, \quad i \neq j, \quad (3)$$

в котором нет зависимости от значения угла $2\gamma \neq \pi (n = 0, 1, 2, \dots)$ между осями подвеса пар ГД. Отсюда следует принципиальная важность синтеза явного алгоритма настройки СГК в «каноническом» варианте, когда углы $\gamma_1^g = \pi/2, \gamma_2^g = 0 (2\gamma = \pi/2)$ (рис. 2).

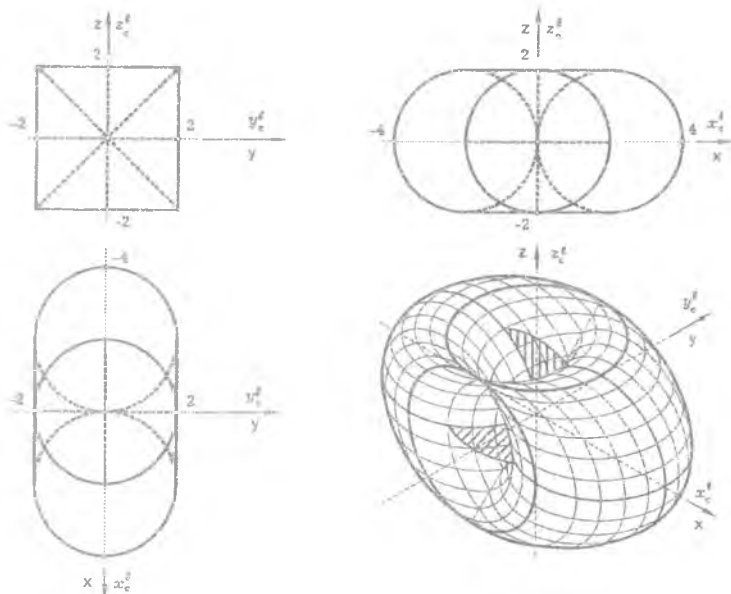


Рис. 2. Естественные сингулярные состояния для канонического варианта схемы СГК

Анализ (3) приводит к описанию *всех естественных* множеств сингулярных состояний СГК:

- $[C_{\alpha_i} = 0] \Rightarrow \delta_i = \pm\pi/2, i = 1, 2$: обе пары ГД находятся во *внутреннем* сингулярном состоянии, при этом вектор нормированного КМ СГК $\mathbf{h} = 0$;
- $[(C_{\delta_i} = 0) \& (S_{\alpha_i} = 0)] \Rightarrow \alpha_i = 0 \vee (\pm\pi); \delta_i = \pm\pi/2, (i = 1) \vee (i = 2)$: одна из пар ГД находится во *внутреннем* сингулярном состоянии и *одновременно* векторы КМ ее гиродиново направлены перпендикулярно оси x ГБ, при этом вектор КМ \mathbf{h} формируется только другой парой ГД и принадлежит соответствующему *кругу* радиуса 2 (рис. 2);
- $[(C_{\delta_i} = 0) \& (S_{\delta_j} = 0)] \Rightarrow \delta_i = \pm\pi/2, \delta_j = 0, i, j \in \{1, 2\}, i \neq j$: одна из пар ГД находится во *внутреннем* сингулярном состоянии, а другая – во *внешнем* сингулярном состоянии, при этом конец вектора КМ \mathbf{h} принадлежит *окружности* радиуса 2 (рис. 2);
- $[(S_{\delta_i} = 0)] \Rightarrow \delta_i = 0, i = 1, 2$: обе пары ГД находятся во *внешнем* сингулярном состоянии, при этом конец вектора КМ \mathbf{h} принадлежит *трехмерной* двояковыпуклой поверхности $S^{\circ} = \{\mathbf{h}(x, y, z): \varphi(x, y, z) \equiv x^2 + y^2 + z^2 \mp 2q_y q_z - 8 = 0, q_s \equiv \sqrt{4 - s^2}, |s| \leq 2, s = y, z\}$, где верхний знак соответствует оболочке ∂S области вариации S КМ СГК (рис. 2).

Экстремальные значения определителя Δ_G достигаются в таких конфигурациях:

локальный максимум $\max \Delta_G = 2 \cdot S_{27}^2 \Rightarrow \alpha_i, \alpha_j = \pm\pi/2; \delta_i, \delta_j = \pm\pi/2, i, j \in \{1, 2\}, i \neq j$, что соответствует 4 точкам $(x = 0; y = \pm\sqrt{2}; z = \pm\sqrt{2})$ в области вариации S КМ; *глобальный максимум* $\max \max \Delta_G = (64/27) \cdot S_{27}^2 \Rightarrow \alpha_i, \alpha_j = \{0, \pm\pi\}; \delta_i, \delta_j = \{\pm\delta_p, \pi \pm \delta_p\}, i, j \in \{1, 2\}, i \neq j$, где $\delta_p = \arccos(\sqrt{2/3}) = 35^{\circ}25'$, в трех фиксированных точках $(x = \{0, \pm 4\sqrt{2/3}; y = 0, z = 0\})$.

Закон настройки класса «2-SPEED» с *фиксированным* параметром ρ ($0 < \rho < 1$)

$$f_{\rho}(\mathbf{B}) = \bar{x}_1 - \bar{x}_2 + \rho(\bar{x}_1 \cdot \bar{x}_2 - 1) = 0; \quad \bar{x}_1 \equiv x_{12}/q_y; \quad \bar{x}_2 \equiv x_{34}/q_z \quad (4)$$

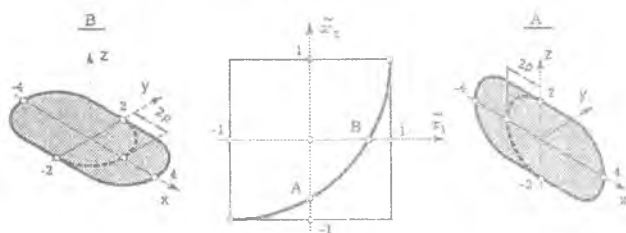


Рис. 3. Сингулярные множества СГК при законе настройки (4) – половины эллипсов

оставляет внутри области S сингулярными (но *проходимыми!*) два одномерных множества:

$$S_y = \{(x/(2\rho))^2 + (z/2)^2 = 1, x < 0; \quad y = 0, \quad |y_1| = |y_2| = 0\};$$

$$S_x = \{(x/(2\rho))^2 + (y/2)^2 = 1, x > 0; \quad z = 0, \quad |z_3| = |z_4| = 0\},$$

с двумя характерными точками в плоскости $\{\bar{x}_1, \bar{x}_2\}$: $A(0, -\rho)$ и $B(\rho, 0)$ (рис. 3). Определяя

$$\Delta(\mathbf{h}, \rho) \equiv x_{12} - x_{34} = d(1 - \sqrt{1 - 4\rho[(q_y - q_z)(x/2) + \rho(q_y q_z - (x/2)^2)]/d^2})/\rho, \quad (5)$$

где $d \equiv q_y + q_z$, и $\alpha_y \equiv (x + \Delta)/2$, $\alpha_z \equiv (x - \Delta)/2$,

$$\rho(\mathbf{h}, \Delta) \equiv [a_z^2 + (z/2)^2]/[a_y^2 + (y/2)^2],$$

функция $G(\mathbf{h}, \rho)$ представляется в явном виде

$$G = [(a_y^4 + y^2 q_y^2) q_z^2 \rho + (a_z^4 + z^2 q_z^2) q_y^2 (1/\rho)]/8 \quad (6)$$

Логико-динамический закон настройки СГК синтезируется на основе *рациональной* логики «переключения» значения параметра ρ в (4) в зависимости от *измеряемого текущего* состояния вектора КМ $\mathbf{h}(t)$, на первом этапе без учета ограничений на скорости прецессии ГД.

Значение $\rho = \rho_0 \equiv 2\sqrt{6}/5 = 0.979795897$ выбирается из условия достижения *глобального максимума* как нормированного определителя матрицы Грамма G , так и радиуса r_g^c сферы *нормированного гарантированного* управляющего момента СГК в КБ для «паркового» состояния СГК, в котором вектор его КМ $\mathbf{h} = 0$ и

$$\alpha_1 = 0, \alpha_2 = \pi; \quad \delta_1 = \delta_2 = \delta_p.$$

При $\rho_1 \equiv 1 - \rho_0$ и $G_k \equiv G(\mathbf{h}, \rho_k)$, $k = 0, 1$, на основе *явных* соотношений (5) – (6) проведен расчет значений G_k (рис. 4, $a_n = 1.5652$ и рис. 5).

Очевидно, что простейшая логика переключения значения параметра ρ в (4) по формуле

$$\rho = \text{Arg} \max\{G(\mathbf{h}, \rho_0), G(\mathbf{h}, \rho_1)\} \in \{\rho_0, \rho_1\} \quad (7)$$

гарантирует $G > 0 \quad \forall \mathbf{h} \in S \setminus \partial S$ (рис. 6).

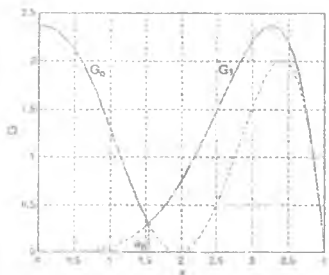


Рис. 4. Значения G для $y = z = 0$ при $\rho = \rho_0$ и $\rho = \rho_1$

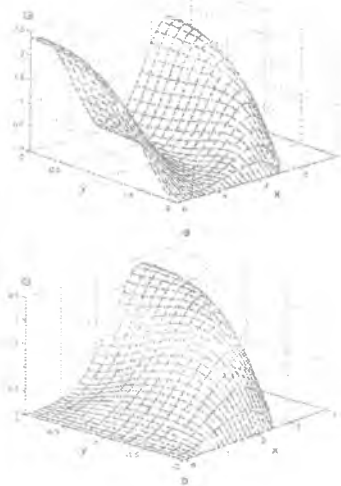


Рис. 5. Значения G для $z = 0$: а) при $\rho = \rho_0$; б) при $\rho = \rho_1$

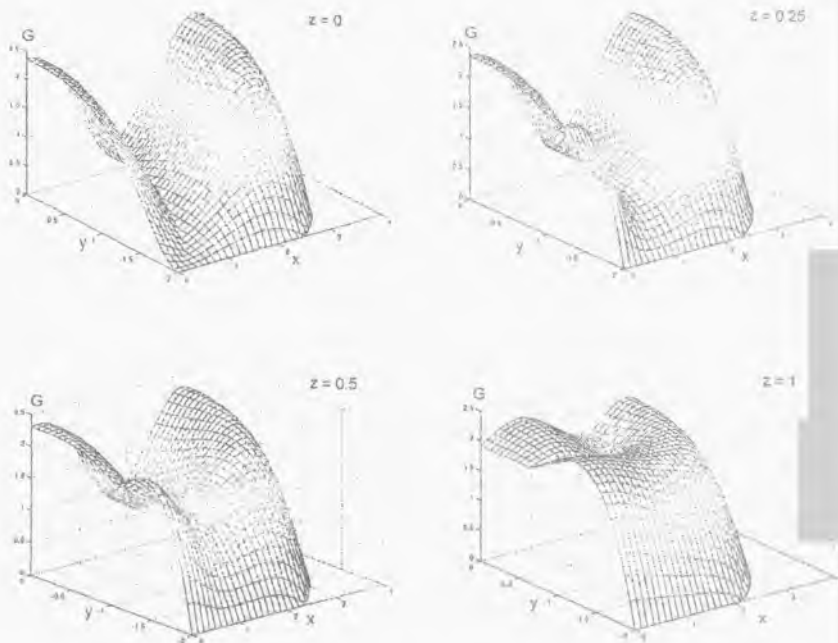


Рис. 6. Значения нормированного определителя матрицы *Грама* G при логико-динамическом законе настройки по критерию его текущей максимизации

Как показали исследования, более эффективным является логико-динамический алгоритм настройки СГК, доставляющий *текущий* максимум радиуса r_v^c сферы *нормированного гарантированного управляющего момента* СГК в КБ: $c_s = \sqrt{a_s^2 + s^2}$, $x_s = \sqrt{4 - c_s^2} / c_s$, $s = y, z$,
 $x_{1,2} = (a_y \mp y x_y) / 2$; $y_{1,2} = (y \pm a_y x_y) / 2$; $x_{3,4} = (a_z \pm z x_z) / 2$; $z_{3,4} = (-z \pm a_z x_z) / 2$;
 $b_1 = |x_1 S_{25}|$; $b_2 = |x_2 S_{25}|$; $b_3 = |x_3 S_{25}|$; $b_4 = |x_4 S_{25}|$; $\bar{r}_{1,2} = |x_1| + |x_2|$; $\bar{r}_{3,4} = |x_3| + |x_4|$,
 $a_{ij} = (S_{2y}^2 x_i^2 x_j^2 + y_i^2 x_j^2 + x_i^2 z_j^2 + 2C_{2y} x_i y_i x_j z_j)^{1/2}$, $\bar{r}_{ij} = (b_i + b_j) / a_{ij}$, $i = 1, 2$, $j = 3, 4$;
 $r_v^c(h, \rho) = S_{2y} \cdot \min\{\bar{r}_{12}, \bar{r}_{13}, \bar{r}_{14}, \bar{r}_{23}, \bar{r}_{24}, \bar{r}_{34}\}$; $\rho = \text{Arg max}\{r_v^c(h, \rho_0), r_v^c(h, \rho_1)\} \in \{\rho_0, \rho_1\}$. (8)

Разработаны модификации явных логико-динамических алгоритмов (7) и (8) настройки СГК, которые обеспечивают его работоспособность практически $\forall h \in S \setminus \partial S$ при наличии

ограничений по угловым скоростям и ускорениям ГД вокруг осей подвеса, предусмотренным для гибкой «лавинообразной» перестройки параметра ρ явной функции распределения (4).

УДК 629.78 681.51

Сомов Е.И., Бутырин С.А., Макаров В.П., Сучков Б.К.

ЦИФРОВЫЕ АЛГОРИТМЫ ПРОСТРАНСТВЕННОГО НАВЕДЕНИЯ СЕРВИСНОГО БОРТОВОГО ОБОРУДОВАНИЯ МАНЕВРИРУЮЩИХ КОСМИЧЕСКИХ АППАРАТОВ

Рассматриваются задачи синтеза непрерывных и дискретных алгоритмов косвенного (при неполном измерении) пространственного наведения сервисного бортового оборудования – панелей солнечных батарей (ПСБ), приемно-передающих антенн связи (ПША) и др., на ориентиры, заданные в различных базовых системах координат (СК) – связанной, орбитальной, инерциальной, с учетом конструктивных ограничений маневрирующих КА наблюдения.

На рис. 1 и 2 представлены компоновка КА наблюдения (без второго крыла ПСБ), СК в виде инерциальных базисов I_0 (гелиоцентрическая эклиптическая СК) и I (геоцентрическая экваториальная СК) и подвижных базисов I_0 (орбитальная СК), $B = \{b_i\}$ (базовая СК корпуса КА) и $E = \{e_i\}$ (СК оборудования), а также схемы отсчета основных позиционных и скоростных кинематических параметров. В наиболее общем случае орт *известного* требуемого направления является *подвижным* в инерциальном базисе. Таковым является, например, орт s направления из центра масс (ЦМ) КА O на Солнце, (рис.1). Все остальные варианты наведения произвольного орта в базисе E в направлении орта, заданного в базисе I_0 либо базисе B , являются частью указанной общей задачи, которая далее представляется как задача наведения нормали $n = -e_1$ к плоскости ПСБ на Солнце.